

開端ゲイの極限支持力

建設省 建築研究所 正員 工博 岸田英明

§1 まえがき 大口径の開端ゲイの使用が盛んになるにつれて、ゲイの内部につまつた土の閉塞効果が問題となり開端ゲイの極限支持力に関する研究が重要な意味を持つ。この種の研究はSZÉCHY(1961,1962)、山原(1964)、石井・上井・他(1965)、及び川崎製鉄(1966)等によって行なわれている。本研究は一様な砂質地盤における開端ゲイの極限支持力を検討するために模型ゲイを使って行なわれた実験の報告である。

§2 実験計画 豊浦の標準砂(粒径0.2mm)をホッパーで砂箱(縦80cm、横100cm、深さ80cm)に一様につめ、模型ゲイ(真鍮製、直径は1.0cmから15cmまで13種類、長さ50cm)を砂中に静かに押し込み、ゲイの埋め込み深さが45cmに達した時に載荷試験を行なった。砂は乾燥砂で、密度1.375g/cm³、間隙比0.912、相対密度0.153 及び内部まさつ角(直接せん断試験による)25°50'である。砂の密度のはらつきは間隙比の値で5/1000以内であるから、全ての実験は同じ性質の一様な砂で行なわれたといえる。

§3 実験結果及び検討 実験は同一直徑のゲイで開端及び閉端の二種類のものにつき、それそれ3回ずつ行なわれた。実験結果の一例が図-1に示してある。この図より閉塞効果が完全な開端ゲイでは極限支持力が閉端ゲイと殆ど同じであることが認められる。開端及び閉端のゲイの極限支持力を比較するに、図-2に見られるように直徑の細いゲイでは開端ゲイの支持力が閉端ゲイの値よりも大きい。これはSZÉCHY(1961)の実験においても認められている現象であり、ゲイの先端に生ずる滑り面の形がゲイの先端部分の表面と砂のまさつにより変化することによるものと考えられる。図-3は開端ゲイを砂中に押し込んで行く時にゲイの内部につまつてくる砂の高さを示したもので、DIが一定の値になれば開端ゲイの内部には砂が入らない、即ち閉塞効果が100%の状態である。直徑が7.5cm以下のものでは閉塞効果が認められるが、10cm以上のものには認められない。閉塞効果はゲイの根入れ深さに関係すると考えられるので、図-3のDIの増加率を因式微分し、ゲイの根入れ深さを直徑の比で表して、両者の関係をまとめたものが図-4である。図-4より閉塞効果が100%になる($\Delta D/D=0$)ためにはゲイの直徑の10~20倍を砂の中に貫入させることが必要である。SZÉCHY(1962)の研究ではこの値がゲイの直徑の20倍以上とされており、川鉄(1966)の実大ゲイの試験結果では、開端ゲイの先端が砂質支持地盤にゲイ径の10倍以上貫入した場合に閉塞効果が100%になるとされている。図-5は開端ゲイの内部につまつた砂がどのように変化したかを貫入棒(直徑6mm)によって求めた結果である。開端ゲイの内部の砂は全体的に外部の砂よりしまっており、ゲイの内部についていえば表面から先端部に向ってしまっていることが認められる。

§4 むすび (1) 砂の中に押し込まれた開端ゲイが閉塞効果を充分に得て、閉端ゲイと同じ極限支持力を得るためににはゲイの直徑の10~20倍の根入れ深さが必要である。(2) 開端ゲイの内部につまつている砂はゲイを押し込む前の砂の状態とは異った性質を示し、開端ゲイの内部ではゲイ先端部分の砂が一番しまっている。

参考文献

- 石井, 上山, 他 (1965) 大径鋼管パイ (径12~15cm) の支持力.
土木学会第20回年次学術講演会 資料集 64-1-2.
- 川崎製鉄株式会社 (1966) 大型鋼管パイ試験報告書 p.137.
- 山原 浩 (1964) 鋼管パイの閉塞効果と支持力機構.
日本建築学会論文報告集 第96号 p.28~p.35.
及び同前97号 p.34~p.41.
- C SZÉCHY. (1961). The Effects of Vibration and Driving upon the Voids in Granular Soil Surrounding a Pile. Proc. 5th I.C.S.M.F.E., Vol. II, p.161~p.164.

C SZÉCHY. (1962) Versuche mit Rohrpfählen in lockerem Sandboden. International Soil Mechanics Symposium 1961. Bulletin No.25, Institute of Soil Mechanics, Technical University of Aachen. p.61~p.89.

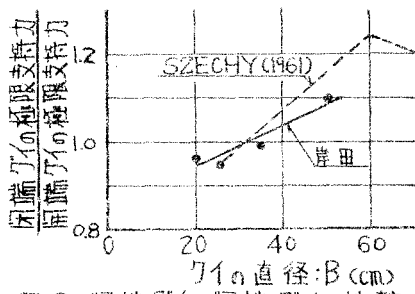


図-2 闭端パイと开端パイの比较

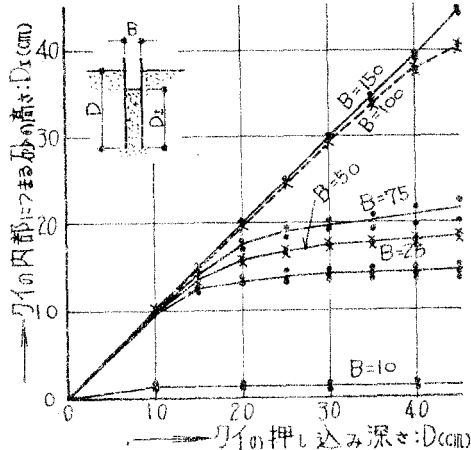


図-3 闭端パイの内部にまつた砂の高さと
パイの押し込み深さの関係

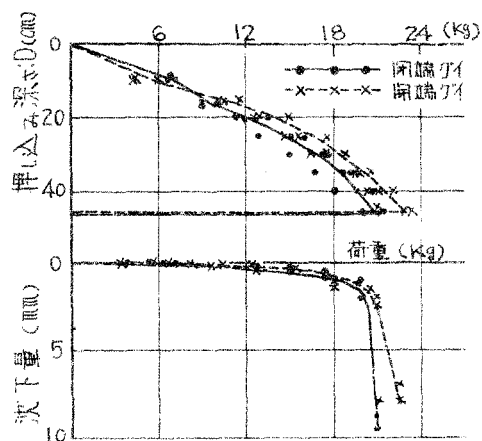


図-4 $\Delta D_s / D$ の関係

